

РАСЧЁТ МОДЕЛЕЙ ТЯГОВОГО АСИНХРОННОГО ДВИГАТЕЛЯ НА ПОЛИНОМИАЛЬНЫХ РЕКУРРЕНТНЫХ НЕЙРОННЫХ СЕТЯХ

Введение. Качественное управление движением дизель-поезда (параметры элементов которого являются нелинейными и изменяются в процессе работы) является сложной и актуальной задачей [1]. Исследование и первоначальную отладку его системы управления (СУ), а также корректировку её настройки в процессе работы целесообразно выполнять на имитационной математической модели, описывающей с достаточной точностью реальный объект в текущий промежуток времени [2]. Для реализации моделей объектов в последнее время широко используются искусственные нейронные сети (НС), способные обучаться и обладающие возможностями универсальных аппроксиматоров [2, 3]. Универсальность НС достигается либо за счёт использования нелинейных активационных функций нейронов, многослойности сети и большого числа соединений, либо за счёт расширения входного пространства в функционально связанных НС с линейными функциями активации [3].

Получение модели объекта, а также поиск или корректировку параметров СУ этим объектом необходимо выполнять за минимальное время (желательно – в режиме реального времени "on-line"). Снижение времени поиска структуры модели и внутренних её параметров можно достигнуть, максимально используя уже известную информацию о математической модели объекта. В этом случае перспективно создавать модель на рекуррентных НС со структурой, подобной структуре объекта [4, 5]. По известной структуре математической модели объекта выполняется построение структуры НС. Весовые коэффициенты НС могут быть найдены с помощью градиентных алгоритмов обучения [2, 3], либо расчётом этих коэффициентов из экспериментальных данных работы объекта [4, 5]. Последний способ не имеет итерационных алгоритмов и является значительно более быстрым. Развитию этого способа для получения модели тягового асинхронного двигателя (ТАД), являющегося одним из основных узлов привода дизель-поезда, посвящена данная статья.

Постановка задачи исследования. В работах [4, 5] разработаны методики расчёта, соответственно, степенных и полиномиальных рекуррентных НС (ПРНС) из экспериментальных данных. В [5] показана возможность получения моделей на ПРНС для тиристорного электропривода с двигателем постоянного тока последовательного возбуждения. Так как ТАД имеет нелинейные параметры и перекрёстные связи, целесообразно получать его модель на ПРНС, позволяющей представлять объект с нелинейностями параметров от любого числа переменных. Возможность получения модели ТАД на ПРНС в литературе не рассматривалась.

Целью статьи является: с использованием известной структуры математической модели ТАД выполнить расчёт его модели на ПРНС по экспериментальным данным; рассчитать модель на ПРНС по математическому описанию ТАД; исследовать и проанализировать полученные модели методом имитационного моделирования.

Расчёт по математическому описанию моделей ТАД на ПРНС. Для расчёта ПРНС воспользуемся известными общими выражениями, описывающими работу ТАД в стационарной системе координат. Для простоты описания преобразуем трёхфазное симметричное входное напряжение с фазными напряжениями U_A, U_B, U_C в эквивалентное ему двухфазное напряжение, используя выражения [6]:

$$\left. \begin{aligned} U_\alpha &= U_A, \\ U_\beta &= (U_B - U_C) / \sqrt{3}, \end{aligned} \right\} \quad (1)$$

где U_α, U_β – ортогональные проекции обобщённого вектора напряжения на оси α и β .

Математическая модель ТАД при частотно-напряженческом управлении в двухфазной стационарной системе координат представляет собой систему уравнений (2) [6], в которой $U_{s\alpha}$ и $U_{s\beta}$ – проекции вектора статорного напряжения ТАД на оси α и β

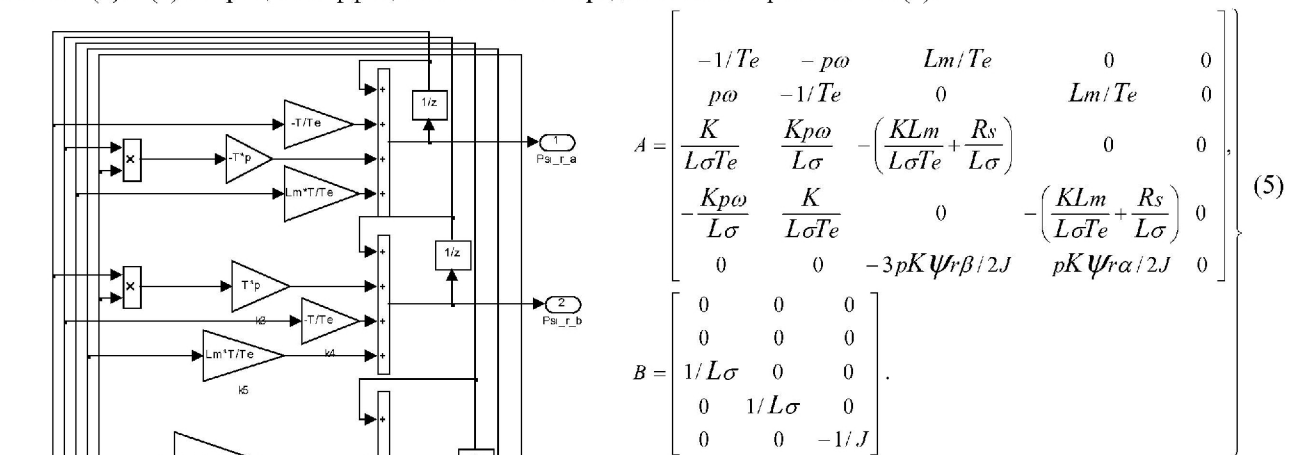
$$\left. \begin{aligned} L_m \cdot I_{s\alpha} &= \Psi_{r\alpha} + Te \cdot \left(\frac{d\Psi_{r\alpha}}{dt} \right) + p \cdot \omega \cdot Te \cdot \Psi_{r\beta}, \\ L_m \cdot I_{s\beta} &= \Psi_{r\beta} + Te \cdot \left(\frac{d\Psi_{r\beta}}{dt} \right) - p \cdot \omega \cdot Te \cdot \Psi_{r\alpha}, \\ U_{s\alpha} &= R_s \cdot I_{s\alpha} + L\sigma \cdot \left(\frac{dI_{s\alpha}}{dt} \right) + K \cdot \left(\frac{d\Psi_{r\alpha}}{dt} \right), \\ U_{s\beta} &= R_s \cdot I_{s\beta} + L\sigma \cdot \left(\frac{dI_{s\beta}}{dt} \right) + K \cdot \left(\frac{d\Psi_{r\beta}}{dt} \right), \\ M - M_c &= J \cdot \left(\frac{d\varpi}{dt} \right), \\ M &= \frac{3}{2} \cdot p \cdot K \cdot (\Psi_{r\alpha} \cdot I_{s\beta} - \Psi_{r\beta} \cdot I_{s\alpha}), \end{aligned} \right\} \quad (2)$$

соответственно; $\Psi_{r\alpha}$ и $\Psi_{r\beta}$ – проекции вектора потокосцепления ротора ТАД на оси α и β ; L_m – индуктивность намагничивания; $L\sigma$ – суммарная индуктивность рассеивания ТАД ($L\sigma = L\sigma_s + K \cdot L\sigma_r$, где $L\sigma_s, L\sigma_r$ – индуктивности рассеивания статора и ротора соответственно); ω – угловая частота вращения (скорость) ротора двигателя; M_c – момент сопротивления; R_s – активное сопротивление обмоток статора; p – число пар полюсов двигателя; J – момент инерции ТАД; Te – электромагнитная постоянная времени ротора; $I_{s\alpha}, I_{s\beta}$ – проекции вектора статорного тока на оси α и β соответственно; K – коэффициент приведения (связи) ротора; M – электромагнитный момент на валу ТАД.

Объект в пространстве состояний описывается в виде системы уравнений (3) [2]. Для данного объекта вектором состояния является: $x = [\Psi r_\alpha, \Psi r_\beta, I s_\alpha, I s_\beta, \omega]^T$; вектором входных сигналов: $u = [U s_\alpha, U s_\beta, M c]^T$. Система уравнений (2) после преобразований принимает следующий вид:

$$\left. \begin{aligned} \frac{d\Psi r_\alpha}{dt} &= -\frac{1}{T_e} \Psi r_\alpha - p\omega \Psi r_\beta + \frac{L_m}{T_e} I s_\alpha + 0 \cdot I s_\beta + 0 \cdot \omega + 0 \cdot U s_\alpha + 0 \cdot U s_\beta + 0 \cdot M c, \\ \frac{d\Psi r_\beta}{dt} &= p\omega \Psi r_\alpha - \frac{1}{T_e} \Psi r_\beta + 0 \cdot I s_\alpha + \frac{L_m}{T_e} I s_\beta + 0 \cdot \omega + 0 \cdot U s_\alpha + 0 \cdot U s_\beta + 0 \cdot M c, \\ \frac{dI s_\alpha}{dt} &= \frac{K}{L\sigma T_e} \Psi r_\alpha + \frac{K p \omega}{L\sigma} \Psi r_\beta - \left(\frac{K L_m}{L\sigma T_e} + \frac{R_s}{L\sigma} \right) I s_\alpha + 0 \cdot I s_\beta + 0 \cdot \omega + \frac{1}{L\sigma} U s_\alpha + 0 \cdot U s_\beta + 0 \cdot M c, \\ \frac{dI s_\beta}{dt} &= -\frac{K p \omega}{L\sigma} \Psi r_\alpha + \frac{K}{L\sigma T_e} \Psi r_\beta + 0 \cdot I s_\alpha - \left(\frac{K L_m}{L\sigma T_e} + \frac{R_s}{L\sigma} \right) I s_\beta + 0 \cdot \omega + 0 \cdot U s_\alpha + \frac{1}{L\sigma} U s_\beta + 0 \cdot M c, \\ \frac{d\omega}{dt} &= 0 \cdot \Psi r_\alpha + 0 \cdot \Psi r_\beta - \frac{3pK}{2J} \Psi r_\beta \cdot I s_\alpha + \frac{3pK}{2J} \Psi r_\alpha \cdot I s_\beta + 0 \cdot \omega + 0 \cdot U s_\alpha + 0 \cdot U s_\beta - \frac{1}{J} M c. \end{aligned} \right\} (4)$$

Значения электромагнитного момента ТАД определяется по пятому уравнению системы (2). Согласно уравнениям (3) и (4) матрицы коэффициентов A и B представлены выражениями (5).



Общая структура ПРНС, соответствующая уравнениям (2) – (5), представлена на рис. 1.

Для модели ТАД матрица весовых коэффициентов ПРНС имеет вид:

$$W = \begin{bmatrix} w_{11} & w_{12} & w_{13} & 0 & 0 & 0 & 0 & 0 \\ w_{21} & w_{22} & 0 & w_{24} & 0 & 0 & 0 & 0 \\ w_{31} & w_{32} & w_{33} & 0 & 0 & w_{36} & 0 & 0 \\ w_{41} & w_{42} & 0 & w_{44} & 0 & 0 & w_{47} & 0 \\ 0 & 0 & w_{53} & w_{54} & 0 & 0 & 0 & w_{58} \end{bmatrix} (6)$$

Элементы w_{ij} в общем случае являются векторами, которые определяются через полиномиальные разложения элементов матриц A и B .

Расчёт весовых коэффициентов ПРНС по экспериментальным данным. Для удобства описания ПРНС и выполнения дальнейших расчётов воспользуемся полиномиальными блоками POL [5]. Эти блоки формируют произведения элементов векторов входных сигналов и состояния на степени этих сигналов для полиномиального представления элементов матриц A и B . Выходами блоков являются векторы h_{ij} с индексами как у векторов весовых коэффициентов w_{ij} . Векторы столбцы h_{ij} (i – номер уравнения системы (3) или номер нейрона)

образуют вектор h_i путём добавления (конкатенации) к h_{i1} элементов других векторов h_{ij} i -го нейрона. Тогда в разностном виде система уравнений (3) имеет вид:

$w_i h_{in} = \Delta x_{in}, i = 1, \dots, 5$, (7) где w_i – векторы весовых коэффициентов i -го нейрона; $\Delta x_{in} = x_{in} - x_{in-1}$. Для расчёта неизвестных коэффициентов ПРНС по экспериментальным данным необходимо иметь количество уравнений равное или большее числу неизвестных N . Для этого выполняются измерение входных сигналов и вектора состояния объекта в $(M \geq N)$ последовательных тактах времени. Тогда каждое из уравнений системы (7) даёт M уравнений. Определение весовых коэффициентов выполняется расчётом с помощью псевдообратных матриц $(h_i^*)^+$ по выражению (8) [5], в котором

$$w_i^* = \Delta x_{in}^* (h_i^*)^+, \quad (8) \quad \Delta x_{in}^* = [\Delta x_{in}, \dots, \Delta x_{in-M+1}]^T, \quad i = 1, \dots, 5.$$

$w_i^* = [w_{i1}, \dots, w_{iM}]^T$, размера $(M \times 1)$; $h_i^* = [h_{in}, \dots, h_{in-M+1}]$,

Рассчитанная модель на ПРНС с высокой точностью отображает объект для значений входных сигналов, используемых для расчёта. Однако при других значениях входных сигналов точность модели снижается из-за присутствия нелинейностей. Для достаточно точного расчёта модели желательно использовать все имеющиеся экспериментальные данные. Если использовать данные, полученные с частотой 10^5 Гц в течение десятков секунд или минут, то размеры матриц расчёта весовых коэффициентов могут достигать миллионов. Время выполнения операций с увеличением размеров матриц растёт лавинообразно. Минимизировать время расчёта можно за счёт рационального формирования набора значений экспериментальных данных используемых для расчёта с помощью следующих приёмов:

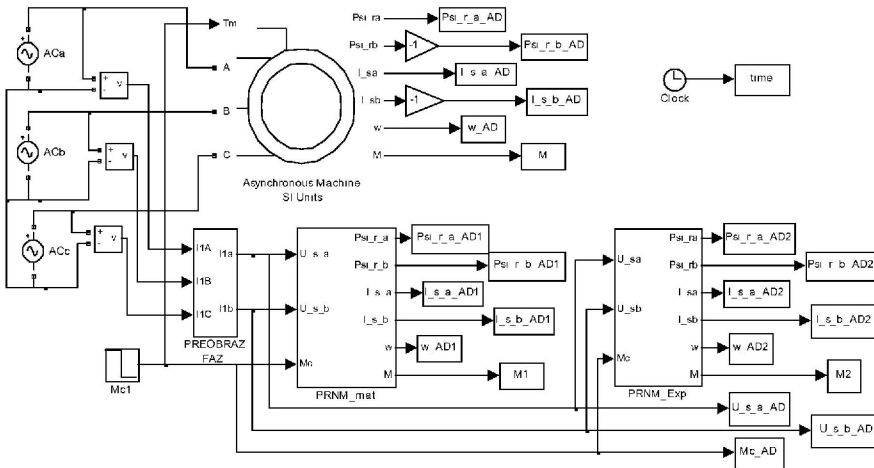


Рис. 2 Исследуемая система в пакете Matlab.

фрагментов, взятых при разных режимах работы двигателя; разреживание данных (использование для расчёта одно значение из ряда последовательных значений).

Результаты расчёта ПРНС и моделирования.

Для исследования взята модель двигателей АД906У1, установленных на ДП ДЕЛ-02, имеющих следующие параметры: $P_n=240$ кВт, $U_{\phi n}=665$ В, $I_{\phi n}=155$ А, $M_n=2366$ Нм, $p=3$, $f_{сн}=33,8$ Гц, КПД-93%; $R_s=0,083$ Ом; $R_r=0,06$ Ом; $L_m=0,0725$ Гн; $L_\sigma=0,003$ Гн; $L_{\sigma n}=0,0016$ Гн; $L_{\sigma r}=0,0014$ Гн; $T_e=1,23$ с.; $K=0,982$; $J=10$ Нм², $x_1=0,343$ Ом, $x_2=0,29$ Ом, $x_m=15,4$ Ом.

Схема исследуемой системы в пакете Simulink приведена на рис. 2. Пуск двигателя осуществляется от трёхфазного источника напряжения с фазным напряжением 665 В и частотой 50 Гц. Момент сопротивления в начале пуска 400Нм, в момент времени 1,6с он увеличивается до номинального (2366Нм). На рис. 3 в левом столбце показаны значения элементов вектора состояния ТАД и электромагнитный момент для его модели из стандартной библиотеки системы Matlab (цифра "1") и модели на ПРНС (ПРНС М), рассчитанной из его математической модели (цифра "2"). Результаты очень близкие, поэтому для их сравнения в среднем столбце рис. 2 приведены разности сигналов левого столбца. В правом столбце приведены сигналы модели на ПРНС (ПРНС_Э), весовые коэффициенты которой рассчитаны из экспериментальных данных (цифра 3). Для расчёта использовались 2000 значений, полученных с шагом счёта $T=0,00001$ с и коэффициентом разряжения 10, т.е. данные первых 0,2с пуска. Результаты показали, что при использовании меньшего количества точек точность модели снижается. Весовые коэффициенты, рассчитанных ПРНС, приведены в табл.1. Отличия значений большинства весовых коэффициентов ПРНС не превышают 5%.

Вывод: Выполненные по полученным уравнениям расчёты и проведенные исследования методом имитационного моделирования математических моделей, показали возможность получения на ПРНС моделей

ТАД, обладающих высокой точностью.

Обозн. коэфф.	ПРНС М $\times 100000$	ПРНС Э $\times 100000$
w ₁₁	-8,12E-01	-2,88E-01
w ₁₂	-3	-3,1707
w ₁₃	5,89E-02	5,86E-02
w ₂₁	3	3,0555
w ₂₂	-8,12E-01	-7,60E-01
w ₂₄	5,89E-02	5,88E-02
w ₃₁	269,72	-322,36
w ₃₂	9,96E+02	1,03E+03
w ₃₃	-47,643	-43,501
w ₃₆	3,38E+05	3,38E+05
w ₄₁	-9,96E+02	-9,74E+02
w ₄₂	269,72	547,58
w ₄₄	-47,643	-43,22
w ₄₇	3,38E+05	3,39E+05
w ₅₃	-4,42E-01	-4,49E-01
w ₅₄	4,42E-01	4,38E-01
w ₅₅	-200	-201,94

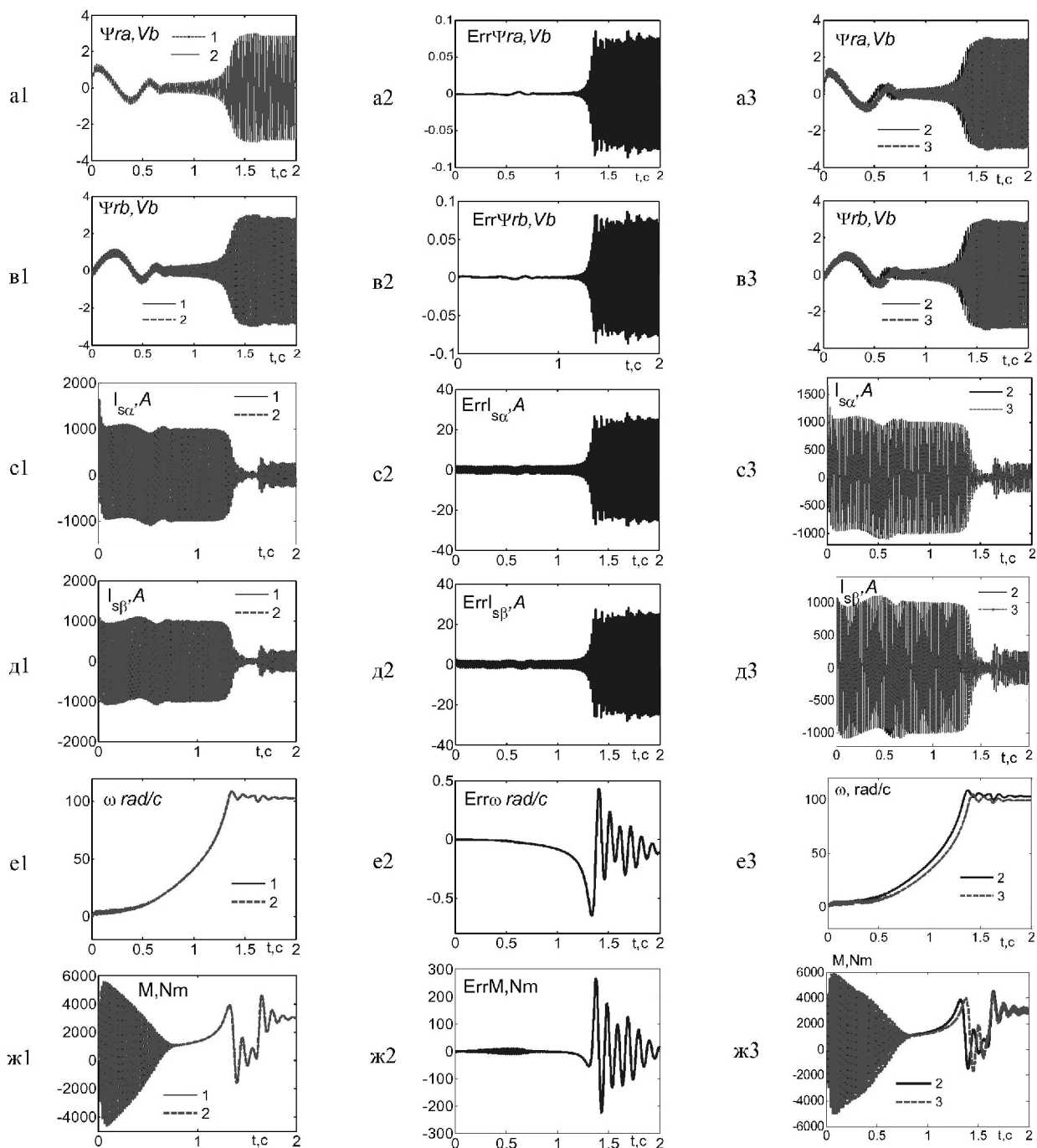


Рис. 3 Диаграммы работы рассчитанных моделей ТАД на ПРНС и на библиотечном блоке системы Matlab.

Литература.

1. Волков А.В., Орловский И.А. Математическая модель многодвигательного частотно-регулируемого асинхронного электропривода дизель-поезда с векторной системой управления // *Технічна електродинаміка – Тематичний випуск “Проблеми сучасної електротехніки”*, Ч. 6. – 2008. С. 31-36.
2. Хайкин С. Нейронные сети: полный курс, 2-е издание: Пер. с англ. – М.: Издательский дом “Вильямс”, 2006. – 1104 с.
3. Бодянский Е.В., Руденко О.Г. Искусственные нейронные сети: архитектуры, обучение, применения. – Харьков, ТЕЛТЕХ, 2004. – 372 с.
4. Орловский И.А., Синявский А.А. Разработка моделей нелинейных электротехнических объектов в виде степенных рекуррентных нейронных сетей. // *Радіоелектроніка, інформатика, управління*. – 2007. – №1. – С. 128 – 137.
5. Орловский И.А., Синявский А.А. Расчёт моделей тиристорного электропривода постоянного тока на полиномиальных рекуррентных нейронных сетях // *Електротехніка та електроенергетика*. – 2008. – №2. – С. 7–20.
6. Пивняк Г.Г. Волков А.В. Современные частотно-регулируемые асинхронные электроприводы с широтно-импульсной модуляцией. – Днепропетровск: Национальный горный университет, 2006. – 470с.